

بِسْمِ اللّٰهِ الرَّحْمٰنِ الرَّحِيْمِ



دانشکده‌ی مهندسی مکانیک

پایان‌نامه برای دریافت درجه‌ی کارشناسی ارشد
در رشته‌ی مهندسی مکانیک گرایش تبدیل انرژی

بررسی و تحلیل قطرات در جریان دو فازی همراه با شکست و

تبخیر

افشین بخشی کیاده‌ی

استاد راهنما:

دکتر داود دومیری گنجی

استاد مشاور:

دکتر مفید گرجی بند پی

بهمن ماه ۱۳۹۳

**کپی فرم صورت جلسه دفاع دانشگاه صنعتی نوشیروانی که مهمور به
تحصیلات تكمیلی است**

نام دانشکده:

نام دانشجو:

عنوان پایان نامه:

تاریخ دفاع:

رشته:

گرایش:

ردیف	سمت	نام و نام خانوادگی	مرتبه دانشگاهی	دانشگاه	امضا
۱	استاد راهنما				
۲	استاد مشاور				
۳	استاد مدعو خارجی				
۴	استاد مدعو خارجی				
۵	استاد مدعو داخلی				
۶	استاد مدعو داخلی				

تأییدیه‌ی صحت و اصالت نتایج و مالکیت مادی و معنوی

با اسمه تعالی

اینجانب افشین بخشی کیاده‌ی به شماره دانشجویی ۹۱۴۱۳۰۰۹ دانشجوی رشته‌ی تبدیل انرژی مقطع تحصیلی کارشناسی ارشد تأیید می‌نمایم که کلیه‌ی نتایج این پایان‌نامه‌ی ارشد تحت عنوان بررسی و تحلیل قطرات در جریان دو فازی همراه با شکست و تبخیر به استاد راهنمایی دکتر دومیری گنجی حاصل کار اینجانب و بدون هرگونه دخل و تصرف است و موارد نسخه‌برداری شده از آثار دیگران را با ذکر کامل مشخصات منبع ذکر کرده‌ام. در صورت اثبات خلاف مندرجات فوق، به تشخیص دانشگاه مطابق با ضوابط و مقررات حاکم (قانون حمایت از حقوق مؤلفان و مصنفات و قانون ترجمه و تکثیر کتب و نشریات و آثار صوتی، ضوابط و مقررات آموزشی، پژوهشی و انصباطی ...) با اینجانب رفتار خواهد شد و حق هرگونه اعتراض درخصوص احراق حقوق مکتب و تشخیص و تعیین تخلف و مجازات را از خویش سلب می‌نمایم. در ضمن، مسؤولیت هرگونه پاسخگویی به اشخاص اعم از حقیقی و حقوقی و مراجع ذی‌صلاح (اعم از اداری و قضایی) به عهده‌ی اینجانب خواهد بود و دانشگاه هیچ‌گونه مسؤولیتی در این خصوص نخواهد داشت. در ضمن تمام دستاوردهای مادی و معنوی حاصله از پایان‌نامه ارشد/ رساله دکتری متعلق به دانشگاه صنعتی نوشیروانی بابل می‌باشد و اینجانب هیچ‌گونه ادعایی در قبال آن ندارم.

نام و نام خانوادگی:

امضا و تاریخ:

مجوز بهره‌برداری از پایان‌نامه

بهره‌برداری از این پایان‌نامه در چهارچوب مقررات کتابخانه و با توجه به محدودیتی که توسط استاد راهنمای شرح زیر تعیین می‌شود، بلامانع است:

- بهره‌برداری از این پایان‌نامه/رساله برای همگان بلامانع است.
- بهره‌برداری از این پایان‌نامه/رساله با اخذ مجوز از استاد راهنمای، بلامانع است.
- بهره‌برداری از این پایان‌نامه/رساله تا تاریخ ممنوع است.

نام استاد یا اساتید راهنمای:

تاریخ:

امضا:

تقدیم به:

این کار را تقدیم می کنم به خانواده عزیزم که از من در تمام مراحل زندگی حمایت کردند.

تشکر و قدردانی:

ابتدا از استاد راهنمای محترم آقای دکتر دومیری و همچنین از عزیزانی که در گردآوری این کار به بندۀ کمک کردن، مهندس سجاد خدادای، دکتر سم خانیانی، دکتر مرتضی عباسی، مهندس مهدی فکور و باقی عزیزان، تقدیر و تشکر می‌کنم و برایشان آرزوی سلامت و طول عمر با عزت را دارم.

چکیده

جريان قطره يكى از پدیده های رايج در صنعت می باشد. از بارش باران تا پوشش دهی به فلزات نمونه هایی از کاربرد قطره می باشد. برای درک فرآيندهای طبیعی یا بهینه سازی فرآيندهای صنعتی نیاز به آزمایش های متتنوع برای درک پارامترهای موثر بر يك پدیده می باشد. گران و محدود بودن مطالعات آزمایشگاهی، نیاز به شبیه سازی های عددی و بررسی تحلیلی پدیده ها را غیر قابل اجتناب می کند. در این نوشتار به بررسی پدیده های فیزیکی مرتبط با قطره که در اسپری اتفاق می افتد، پرداخته شده است. این پدیده ها شامل تغییرات شکل ظاهری قطره در اثر عواملی همچون حرکت در محیط، برخورد با سطوح مختلف جامد، برخورد با سطوح مختلف مایع می باشد. در حرکت قطره در سیال محیط، حالات مختلف تغییرشکل و شکست در قطره مشاهده شده است که تحت تاثیر نیروهای بدنی ای، کشش سطحی و لزجت می باشند. در برخورد قطره با سطوح جامد، عوامل موثر بر گسترش قطره روی سطح جامد و تشکیل موج های کپیلاری روی سطح قطره مورد بررسی قرار می گیرند. در برخورد قطره با سطح فیلم مایع، تشکیل حفره و عمق آن ارزیابی می شود. همچنین در این مطالعه به بررسی قطره در پدیده ی تبخیر نیز پرداخته شده است که در آن بیشتر بر دمای قطره تمرکز شده است و عوامل موثر بر تغییرات دمای قطره در فرآیند تبخیر مورد بررسی قرار گرفته است. فرآيندهای تغییر شکل قطره با استفاده از روش عددی حجم محدود شبیه سازی بررسی می شوند و مورد تحلیل قرار می گیرند و در بررسی فرآیند تبخیر قطره از روش های تحلیلی برای حل معادلات حاکم بر پدیده استفاده می شود.

واژه های کلیدی: قطره، روش حجم سیال، تبخیر، اسپری، شکست

فهرست مطالب

۱	فصل ۱ مقدمه
۲	۱-۱ مقدمه
۴	۲-۱ مقدمه ای بر جریان دو فاز
۸	فصل ۲ مروری بر مبانی و پیشینه تحقیق
۹	۱-۲ مقدمه
۹	۲-۲ شبیه سازی عددی قطره
۱۰	۱-۲-۲ مدل های جریان دو فاز
۱۰	۲-۲-۲ روش های ارایه ای سطح مشترک
۱۶	۳-۲ مروری بر ادبیات و پیشینه ای مطالعه
۱۷	۱-۳-۲ حرکت قطره (حباب) در سیال بی نهایت
۲۴	۲-۳-۲ برخورد قطره به صفحه
۲۷	۳-۳-۲ برخورد قطره با فیلم مایع
۲۹	۴-۳-۲ تبخیر قطره ای در حال سقوط آزاد
۳۳	۴-۲ نتیجه گیری
۳۴	فصل ۳ روش تحقیق
۳۵	۱-۳ مقدمه
۳۵	۲-۳ علت انتخاب روش
۳۵	۳-۳ تشریح کامل روش حل عددی
۳۵	۱-۳-۳ نرم افزار متن باز OpenFOAM
۳۶	۲-۳-۳ گسسته سازی حجم محدود
۳۹	۳-۳-۳ تشریح حلگر در OpenFOAM
۴۲	۴-۳ تشریح کامل روش حل تحلیلی
۴۲	۱-۴-۳ روش اغتشاشی هموتوپی
۴۴	۵-۳ تشریح مسایل
۴۴	۱-۵-۳ سقوط آزاد قطره و تغییر شکل و شکست آن
۴۵	۲-۵-۳ برخورد قطره با سطوح شیبدار و گسترش آن
۴۶	۱-۵-۳ برخورد قطره با فیلم مایع
۴۷	۲-۵-۳ تبخیر قطره ای در حال سقوط آزاد
۴۸	۶-۳ معادلات حاکم در بررسی های عددی
۴۹	۷-۳ معادلات حاکم در بررسی تحلیلی
۵۲	فصل ۴ نتایج و تفسیر آن ها
۵۳	۱-۴ مقدمه

۵۳	۲-۴ سقوط آزاد قطره و تغییر شکل و شکست آن.....
۵۳	۱-۲-۴ شرایط مرزی و اولیه.....
۵۵	۲-۲-۴ بررسی استقلال حل از شبکه.....
۵۶	۳-۲-۴ بررسی اعتبار حل.....
۵۷	۴-۲-۴ نتایج.....
۶۲	۳-۴ برخورد قطره با سطوح شبیدار و گسترش آن.....
۶۲	۱-۳-۴ شبکه، شرایط مرزی و اولیه.....
۶۳	۲-۳-۴ نتایج.....
۷۲	۴-۴ برخورد قطره با فیلم مایع.....
۷۲	۱-۴-۴ شبکه، شرایط مرزی و اولیه.....
۷۳	۲-۴-۴ نتایج.....
۸۲	۴-۴ تبخیر قطره‌ی در حال سقوط آزاد.....
۸۴	۱-۵-۴ بررسی اعتبار روش حل.....
۸۵	۲-۵-۴ تحلیل پاسخ.....

فصل ۵ جمع‌بندی و پیشنهادها

۹۰	۱-۵ مقدمه.....
۹۱	۲-۵ محتوا.....
۹۱	۱-۲-۵ جمع‌بندی.....
۹۲	۲-۲-۵ نوآوری.....
۹۳	۳-۲-۵ پیشنهادها.....

مراجع

فهرست شکل ها

..... ۴	شکل (۱-۱) دسته بندی جریان دو فاز بر حسب جنس فاز.....
..... ۵	شکل (۲-۱) ستون حباب (راکتور شیمیایی).....
..... ۷	شکل (۳-۱) جریان گاز-مایع در لوله: الف) حبابی به لخته ای (ج) لخته ای به چرنی (چرنی) حلقوی [۱۶].....
..... ۱۱	شکل (۱-۲) الف) تعقیب سطح مشترک ب) تسخیر سطح مشترک.....
..... ۱۳	شکل (۲-۲) بازسازی هندسی سطح به روش های SLIC و PLIC.....
..... ۱۴	شکل (۳-۲) ناحیه ای سطح مشترک در روش تفاضلی مرتبه بالا [۲۸].....
..... ۱۶	شکل (۴-۲) عملکرد روش های حجم سیال و مجموعه سطوح.....
..... ۱۸	شکل (۵-۲) مراحل انواع شکست ثانویه قطره.....
..... ۲۰	شکل (۶-۲) شکست کیسه ای.....
..... ۲۱	شکل (۷-۲) شکست برشی.....
..... ۲۳	شکل (۸-۲) نمودار گریس [۳۴].....
..... ۲۵	شکل (۹-۲) برخورد قطره به دیواره، پدیده ای گسترش و بازپس خوردن [۴۱].....
..... ۲۷	شکل (۱۰-۲) نمایی از برخورد قطره با فیلم مایع.....
..... ۳۶	شکل (۱-۳) گستته سازی دامنه ای حل [۷۷].....
..... ۴۷	شکل (۲-۳) نمایی از قطره ای در حال تبخیر.....
..... ۵۴	شکل (۱-۴) شبکه ای محاسباتی و شرایط مساله.....
..... ۵۵	شکل (۲-۴) بررسی استقلال حل از شبکه.....
..... ۵۶	شکل (۳-۴) بررسی اعمال کشش سطحی حلگر.....
..... ۵۷	شکل (۴-۴) اثر اتوس بر تغییر شکل و شکست قطره در اونسورج ۰,۰۵. از چپ به راست عدد اتوس اینگونه تغییر می کند: ۰,۱۵. ۰,۲۲. ۰,۳۹. ۰,۶۰. ۰,۷۸. فاصله ای میان قطرات در هر حالت یک مقدار ثابت می باشد و زمان نهایی برای هر حالت بر حسب ثانیه چنین است: ۰,۰۵۶. ۰,۰۶۹. ۰,۰۸۲. ۰,۰۸۸. ۰,۱۱۵. ۰,۱۵. ۰,۲۲. ۰,۳۹. ۰,۶۰. ۰,۷۸.
..... ۵۹	شکل (۵-۴) نمودار تغییرات سرعت مرکز قطره نشان داده شده در شکل (۴-۴). نتایج به ترتیب برای اتوس های زیر نشان داده شده اند: ۰,۱۵. ۰,۲۲. ۰,۳۹. ۰,۶۰. ۰,۷۸.
..... ۶۰	شکل (۶-۴) اثر عدد اونسورج بر تغییر شکل قطره با $E_0 = 15$. گام های زمانی ثابت و زمان نهایی ۰,۰۵. ۰,۱۲۵. ۰,۲۵. اتوس اونسورج از چپ به راست اینگونه افزایش می یابد: الف) (ب) (ج)

- شکل (۷-۴) اثر عدد اونسورج بر تغییر شکل قطره با $E_0 = 78$. گام های زمانی ثابت و زمان نهایی ۰، ۴۹ ۶۱
- باشد. اونسورج از چپ به راست اینگونه افزایش می یابد: (الف) $0, 05$ ۰، ۲۵ (ب) $0, 05$ ۰، ۲۵ (ج) $0, 125$ ۰، ۲۵
- شکل (۸-۴) نمایی از شبکه حل ۶۲
- شکل (۹-۴) زوایای تماس استاتیکی ۶۳
- شکل (۱۰-۴) مشاهدات تجربی رژیم های مختلف برخورد و گسترش قطره روی سطوح شیبدار (برگرفته از کار سیکالو [۸۵]). (الف) چلپ چلوپ (برخورد قطره ایزوپروپانول با سطح شیشه با شیب ۴۵ درجه و $We=544$) (ب) گسترش (برخورد قطره آب با سطح شیشه با شیب ۱۰ درجه و $We=391$) (ج) گسترش و سر خوردن (برخورد قطره آب با سطح موم با شیب ۱۰ درجه و $We=391$) (د) متمایل به پس زدن (برخورد قطره گلیسرین با سطح شیشه با شیب ۸ درجه و $We=51$) (ه) پس زدن (برخورد قطره گلیسرین با سطح شیشه با شیب ۸ درجه و $We=179$) (و) تغییر شکل (برخورد قطره ایزوپروپانول با سطح شیشه با شیب ۸ درجه و $We=51$)
- شکل (۱۱-۴) برخورد قطره آب به قطر ۲،۷۲ میلیمتر با سطح شیشه با زاویه ۱۰ درجه و $We=391$. فاصله ای زمانی بین هر تصویر ۱ میلی ثانیه می باشد ۶۴
- شکل (۱۲-۴) برخورد قطره آب به قطر ۲،۷۲ میلیمتر با سطح موم با زاویه ۱۰ درجه و $We=391$. فاصله ای زمانی بین هر تصویر ۱ میلی ثانیه می باشد ۶۵
- شکل (۱۳-۴) (الف) نمایی از نحوه ای اندازه گیری طول گسترش. (ب) موالفه های سرعت و هندسه ای برخورد قطره ۶۵
- شکل (۱۴-۴) مقایسه ای ضریب گسترش پیشینی شده با نتایج آزمایشگاهی [۸۵] برای سیستم (الف) شیشه و آب (ب) موم و آب (شیب ۱۰ درجه و $We=391$) ۶۶
- شکل (۱۵-۴) اثر زاویه ای برخورد بر ضریب گسترش در برخورد قطره ای آب بر سطح شیشه با $We=90$ ۶۷
- شکل (۱۶-۴) اثر زاویه ای برخورد بر ضریب گسترش در برخورد قطره ای آب بر سطح موم با $We=90$ ۶۸
- شکل (۱۷-۴) اثر سرعت برخورد بر ضریب گسترش در برخورد قطره ای آب بر سطح شیشه با شیب ۱۰ درجه ۶۹
- شکل (۱۸-۴) اثر سرعت برخورد بر ضریب گسترش در برخورد قطره ای آب بر سطح موم با شیب ۱۰ درجه ۶۹
- شکل (۱۹-۴) اثر سرعت برخورد بر حرکت قطره ای آب بر روی سطح شیشه با شیب ۱۰ درجه (فاصله ای زمانی میان هر تصویر ۱ ms) ۷۰
- شکل (۲۰-۴) اثر سرعت برخورد بر حرکت قطره ای آب بر روی سطح موم با شیب ۱۰ درجه (فاصله ای زمانی میان هر تصویر ۱ ms) ۷۰
- شکل (۲۱-۴) نمایی از قطره در زمان تشکیل موج کپیلاری (درون قطره کانتور فشار نشان داده شده است) [۹۰] ۷۱
- شکل (۲۲-۴) شبکه ای محاسباتی و شرایط مساله ۷۲

شكل (۲۳-۴) پیشرفت حفره درون فیلم برای برخورد قطره‌ی ایزوپروپانول با $H = 2$ و $We = 392$ و $Re = 1730$	الف) شبیه سازی ب) تجربی [۸۶]. زمان بی بعد مربوط به هر شکل به ترتیب این گونه می‌باشد: ۰.۱، ۰.۲، ۰.۸، ۰.۷۵، ۰.۳۱، ۰.۲۱، ۰.۷
شكل (۲۴-۴) پیشرفت حفره درون فیلم برای برخورد قطره‌ی آب قطر با $H = 2$ و $We = 215$ و $Re = 6750$	الف) شبیه سازی ب) تجربی [۸۶]. زمان بی بعد مربوط به هر شکل به ترتیب این گونه می‌باشد: ۰.۱، ۰.۲، ۰.۴، ۰.۸، ۰.۷۶، ۰.۲۱، ۰.۱۶، ۰.۱
شكل (۲۵-۴) عمق بی بعد برای برخورد قطره‌ی ایزوپروپانول. مقادیر شبیه سازی در این مطالعه با خط و مقادیر آزمایشگاهی [۸۶] با نشانه نمایش داده شده اند	۰.۷۷
شكل (۲۶-۴) عمق بی بعد برای برخورد قطره‌ی مخلوط گلیسیرین و آب. مقادیر شبیه سازی در این مطالعه با خط و مقادیر آزمایشگاهی [۸۶] با نشانه نمایش داده شده اند	۰.۷۷
شكل (۲۷-۴) عمق بی بعد برای برخورد قطره‌ی آب قطر. مقادیر شبیه سازی در این مطالعه با خط و مقادیر آزمایشگاهی [۸۶] با نشانه نمایش داده شده اند	۰.۷۸
شكل (۲۸-۴). الف) کانتور میدان فشار (b) کانتور اندازه‌ی سرعت پیش‌بینی شده در برخورد قطره‌ی ایزوپروپانول با $H = 2$ و $We = 392$ و $Re = 1730$. زمان بی بعد مربوط به هر شکل به ترتیب این گونه می‌باشد: ۰.۰، ۰.۷، ۰.۴، ۰.۵، ۰.۸۰، ۰.۱۶، ۰.۲۱، ۰.۷	
شكل (۲۹-۴) مقایسه‌ی تابع دمای بدست آورده از روش HPM با روش عددی (با مقادیر جدول (۴-۴))	۰.۸۴
شكل (۳۰-۴) تغییرات دمای قطرات آب، اتانول، هپتان و بنزن در حال تبخیر	۰.۸۶
شكل (۳۱-۴) اثر دمای محیط بر دمای قطره در فرآیند تبخیر	۰.۸۷
شكل (۳۲-۴) اثر شعاع اولیه قطره بر دمای قطره در فرآیند تبخیر	۰.۸۸
شكل (۳۳-۴) اثر شتاب گرانش بر دمای قطره در فرآیند تبخیر (شتاب بر حسب متر بر مجدور ثانیه آورده شده)	۰.۸۹

فهرست جدول ها

جدول (۱-۱) کاربردی های علمی و مهندسی قطرات مایع.....	۳
جدول (۱-۲) مهمترین مزایا و معایب سه روش ارایه سطح [۸۹].....	۱۲
جدول (۱-۳) اعداد بی بعد کنترل کننده‌ی پدیده تغییر شکل و شکست قطره در سقوط آزاد قطره.....	۴۵
جدول (۲-۳) اعداد و متغیرهای بی بعد کنترل کننده‌ی پدیده برخورد قطره با فیلم مایع.....	۴۵
جدول (۳-۳) اعداد و متغیرهای بی بعد کنترل کننده‌ی پدیده برخورد قطره با فیلم مایع.....	۴۷
جدول (۴-۳) اعداد و متغیرهای بی بعد کنترل کننده‌ی پدیده تبخیر قطره.....	۴۸
جدول (۱-۴) مشخصات فیزیکی آب و سیال محیطی.....	۵۴
جدول (۲-۴) مشخصات فیزیکی مایع و زوایای تماس سطح.....	۶۳
جدول (۳-۴) مشخصات فیزیکی مایعات به کار برده شده در شبیه سازی برخورد قطره با فیلم مایع.....	۷۳
جدول (۴-۴) مقادیر ثابت مورد استفاده در حل برای قطره‌ی آب در محیط هوا.....	۸۳
جدول (۵-۴) مشخصات فیزیکی سوخت ها.....	۸۵

فهرست نمادها

α	نمايشگر فاز
Φ	تابع فاصله
$\Gamma \left(\frac{m^2}{s} \right)$	پخشيدگى
$\rho \left(\frac{kg}{m^3} \right)$	چگالى
ρ^*	نسبت چگالى
μ (Pa s)	لزجت ديناميکى
μ^*	نسبت لزج
σ	کشش سطحى، پخشيدگى
K	انحنا
ω (Hz)	فرکانس زاويه اى
τ	تансور تنش، عمر قطره
δ	دلتا کرونويکر
A (m^2)	مساحت
$C, C_p \left(J/kg K \right)$	ظرفيت گرمایي ویژه، عدد کورانت
C_a	ضربيت تراكم
D (m)	قطر
D_0 (m)	قطر اوليه
Eo	عدد اتوس
$g \left(\frac{m}{s^2} \right)$	شتاب گرانش
H (m)	ارتفاع فيلم
\bar{H}	ارتفاع بي بعد فيلم
$h \left(W/m K \right)$	ضربيت انتقال حرارت جابجايى
$k \left(W/m K \right)$	ضربيت انتقال حرارت رسانش
$L \left(\frac{kJ}{kg} \right)$	انرژي تبخير

m (kg)	جرم
\dot{m} ($\frac{kg}{s}$)	نرخ انتقال جرم
n	بردار نرمال
Nu	عدد ناسلت
Oh	عدد اونسورج
Pr	عدد پرانتل
Re	عدد رینولدز
R, r (m)	شعاع
\dot{R} ($\frac{m}{s}$)	نرخ تغییرات شعاع
S (m^2)	سطح
S_ϕ	چشم
\bar{t}, t^*	زمان بی بعد
t (s).....	زمان
T (K).....	دما
T^*	دماهی بی بعد
T_∞ (K)	دماهی محیط
T_0 (K)	دماهی اولیه
T_s (K)	دماهی سطح
T_{sat} (K).....	دماهی اشباع
U ($\frac{m}{s}$).....	سرعت
U_r ($\frac{m}{s}$).....	سرعت تراکم
U_0 ($\frac{m}{s}$)	سرعت اولیه
V (m^3)	حجم
We	عدد ویر
x (m).....	طول گسترش
\bar{x}	طول بی بعد گسترش

فصل ۱

مقدمه

۱-۱ مقدمه

قطرات در طبیعت و همچنین گستره‌ی وسیعی از کابردهای علمی و مهندسی وجود دارد.^[۱] قطرات طبیعی را می‌توان در شبینم، مه،^[۲] رنگین کمان،^[۳] ابرها،^[۴] باران و مه آشاره‌ها دید. پراکندگی قطرات در هوای اطراف می‌تواند توسط دوش حمام، شیلنگ باغ‌ها، اسپری مو، اسپری رنگ و تعداد زیاد دیگری از اسپری‌ها تولید شود. تعداد زیادی از فرآیندهای مهم صنعتی با قطره سروکار دارند مثل احتراق اسپری^[۵]، اسپری خشک کن^[۶]، اسپری خنک کن^[۷]، اسپری حرارتی^[۸]، اسپری تمیز کننده^[۹] و... . مثال‌های بیشتر کاربرد علمی و مهندسی قطرات در جدول (۱) آورده شده است.

تغییر شکل قطره در زمان برخورد با سطح یک موضوع مورد علاقه در بسیاری از رشته‌های علمی و مهندسی می‌باشد. يخ زدن و فرسایش سطوح هواپیماها می‌تواند ناشی از برخورد قطرات موجود در ابرها یا باران‌ها در زمان پرواز باشد.^[۱۰,۱۱] فرسایش تیغه‌های توربین^[۱۲] که در بخار نم دار کار می‌کنند و فرسایش سطوح زمینی در زمان باران، همگی مربوط به برخورد قطره می‌باشند. پدیده‌ی برخورد و گسترش قطره بر روی سطوح نیز کاربردهای مهندسی زیادی دارد. به عنوان مثال احتراق اسپری، خنک کننده‌ی سطوح به وسیله‌ی احتراق، چاپگرهای جوهر افشان^[۱۳] استخراج نفت از سنگ‌های متخلخل و... . پدیده‌ی اسپری معمولاً با انتقال حرارت و تقطیر قطرات همراه می‌باشد مثل اسپری حرارتی برای پوشش سطوح^[۸].

کاربردهای گستردۀ محرك تحقیقات و توسعه‌های بنیادی فناوری‌های مرتبط با قطره شده است. در صده‌ی گذشته موضوعات مرتبط به قطره مورد توجه چشم گیر بسیاری از دانشمندان بوده است. در سال‌های اخیر تحقیقات گستردۀی صورت گرفته که باعث برداشتن گام‌های بلندی در مطالعات تحلیلی و آزمایشگاهی فرآیندهای قطره شده است. این پیشرفت‌ها باعث بهبود درک ما از پدیده‌های مرتبط با قطرات شده است.

¹ Spray combustion

² Spray drying

³ Spray cooling

⁴ Thermal spray

⁵ Spray cleaning

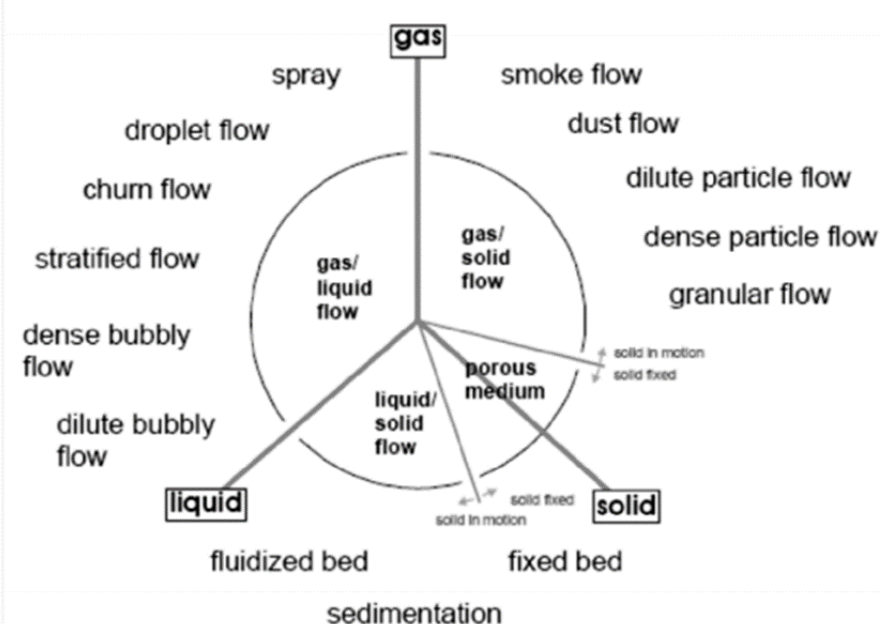
جدول (۱-۱) کاربردی های علمی و مهندسی قطرات مایع

کاربرد	زمینه
- فرآوری شیر خشک - فرآوری غذا - فرآوری شیمیایی	اسپری خشک کن
- موتورهای دیزل - موتورهای احتراق جرقه ای - توربین های گازی - موتورهای راکت - کوره های صنعتی - بویلهای	اسپری احتراق
- خنک کنندگی هسته های اتمی - خنک کنندگی تیغه های توربین ها - خنک کنندگی زغال سنگ - خنک کنندگی شمش فلزات در ریختگری	اسپری خنک کنندگی
- مرطوب سازی در تهویه مطبوع - آتش نشانی - روغن کاری - خیس خوری ^۱ - کنترل آلودگی و غبار	اسپری مه
- افزودن مواد شیمیایی کشاورزی - آبیاری با اسپری	اسپری کشاورزی
- نهایی سازی سطح ^۲ - پوشش سطح	اسپری رنگ
- مالش با گاز (خیس) - شست و شو با شن - تمیز کنندگی سبزیجات - تمیز کنندگی سطوح - شست و شوی خودرو	اسپری تمیز کننده

¹ Drenching² Surface finishing

۲-۱ مقدمه ای بر جریان دو فاز

به جریانی که همزمان حداقل دو فاز متفاوت در آن حضور داشته باشند جریان چند فاز^۱ گفته می‌شود. این دو فاز ممکن است همچون دو فازی آب و بخار از یک جنس باشند یا همچون دوفازی آب و هوا یا دوفازی آب و روغن از دو جنس متفاوت باشند. در دوفازی سیال-جامد، سیال می‌تواند مایع یا گاز باشد. تقریباً اکثر پدیده‌های فیزیکی در دسته بندی جریان دو فاز جای می‌گیرند. از مثال‌های رایج جریان دو فازی سیال-جامد می‌توان به حرکت ذرات ته نشین^۲ و رسوب در لوله‌ها اشاره کرد. ستون حباب^۳، حرکت گاز و سیال در لوله‌ها یا پدیده‌های طبیعی همچون امواج دریا یا بارش باران از پدیده‌های رایج جریان دو فازی گاز-مایع می‌باشد. جریان قطره^۴ در زیرگروه جریان‌های دوفازی مایع-گاز قرار می‌گیرد.



شکل (۱-۱) دسته بندی جریان دو فاز بر حسب جنس فاز

برای درک پیچیدگی‌های فیزیکی جریان دو فاز به تعدادی از پدیده‌های طبیعی و صنعتی جریان دوفازی گاز-مایع

¹ Multi phase

² Sediment Transport

³ Bubble Column

⁴ Droplet Flow